

# Modelos de Mortalidad

Riskcenter

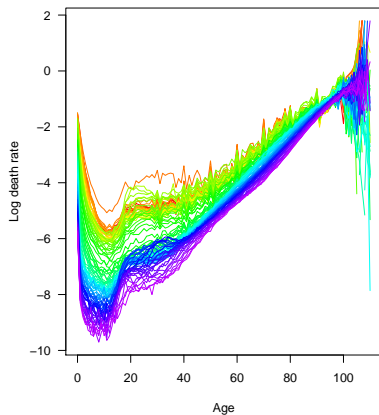
Universidad de Barcelona

<http://www.ub.edu/riskcenter>

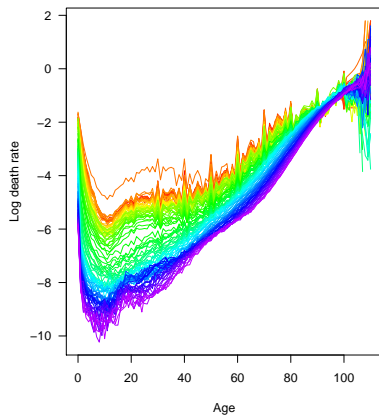
15 de marzo de 2021

# Gráficos de tasa brutas

Spain: male death rates (1908–2012)



Spain: female death rates (1908–2012)



# Motivación.

- ▶ En el curso del siglo XX, la población del mundo industrializado experimentó un cambio en la mortalidad:
  - ▶ Por enfermedades infecciosas, afectando de manera notable a las edades jóvenes.
  - ▶ Reducción de mortalidad infantil y en edades adultas.

# Motivación.

¿Por qué se necesita modelizar la mortalidad?

- ▶ La mortalidad en el futuro es incierta.
- ▶ Buena gestión del riesgo.
- ▶ Cálculo de Reservas.
- ▶ Valores vinculados a la mortalidad.

## Notación.

- ▶ El año calendario se define como el tiempo que transcurre entre  $t$  y  $t + 1$ .
- ▶  $m(t, x)$  es la tasa bruta de mortalidad para la edad  $x$  en el año calendario  $t$ ,

$$m_{(x,t)} = \frac{D(x,t)}{E(x,t)}$$

donde  $D(x, t)$  y  $E(x, t)$  son las muertes y las personas expuestas al riesgo en la edad  $x$  en el año  $t$ .

- ▶ En general los modelos se hacen respecto a  $\log m_{(x,t)}$

# Modelo Lee-Carter

- ▶ En lugar de resumir los datos en pocos parámetros, se crean parámetros para describir la mortalidad a cada edad y periodo además de un índice para el tiempo, para resumir las tendencias del pasado.
- ▶ Este índice se extrapola al futuro, obteniendo tablas de vida proyectadas.
- ▶ El modelo de Lee-Carter ha sido adoptado por el *US Bureau of the Census*, por lo que se ha convertido en una técnica de referencia para predecir la mortalidad.

## Modelo Lee-Carter (1992)

$$\log m_{(x,t)} = \alpha_x + \beta_x \cdot \kappa_t + \epsilon_{x,t},$$

- ▶  $\alpha_x$  = la media del  $\log m_{x,t}$  en los años calendario  $t$ , por lo tanto  $\exp \alpha_x$  es la forma general de la mortalidad.
- ▶  $\kappa_t$  representa la tendencia de la mortalidad en el tiempo. El Forecasting se hace tratando  $\kappa_t$  como una serie temporal.
- ▶  $\beta_x$  describe las variaciones de  $\log m_{(x,t)}$  en la edad  $x$  cuando  $\kappa_t$  varía en el tiempo.
- ▶ El de error  $\epsilon_x(t)$  iid  $\sim \mathcal{N}(0, \sigma^2)$  y reflejan los efectos que no son capturados por el modelo.

## Modelo Lee Carter: Definición.

Los parámetros satisfacen que,

$$\sum_{t=t_{min}}^{t_{max}} \kappa_t = 0 \quad \text{y} \quad \sum_{x=x_{min}}^{x_{max}} \beta_x = 1$$

para asegurar “identifiability”, que asegura que diferentes parámetros estimados devuelven diferentes probabilidades



## Estimación de los parámetros.

- ▶ Los parámetros se obtienen por mínimos cuadrados ordinarios, es decir, minimizando:

$$(\hat{\alpha}, \hat{\beta}, \hat{\kappa}) = \arg \min_{\alpha, \beta, \kappa} \sum_{x,t} (\ln m_{(x,t)} - \alpha_x - \beta_x \kappa_t)^2.$$

- ▶ Las restricciones impuestas a los parámetros garantizan la unicidad de la solución.
- ▶ Con la descomposición en valores singulares se obtienen las estimaciones de los parámetros.

## Estimación de los parámetros.

- Derivando la función objetivo respecto de  $\alpha_x$  se tiene,

$$\sum_{t=t_{min}}^{t_{max}} \ln \hat{m}_{(x,t)} = (t_{max} - t_{min} + 1)\alpha_x + \beta_x \underbrace{\sum_{t=t_{min}}^{t_{max}} \kappa_t}_{=0}.$$

- Las  $\alpha_x$  se estiman como,

$$\hat{\alpha}_x = \frac{1}{t_{max} - t_{min} + 1} \sum_{t=t_{min}}^{t_{max}} \ln m_{(x,t)}.$$

## Estimación de los parámetros.

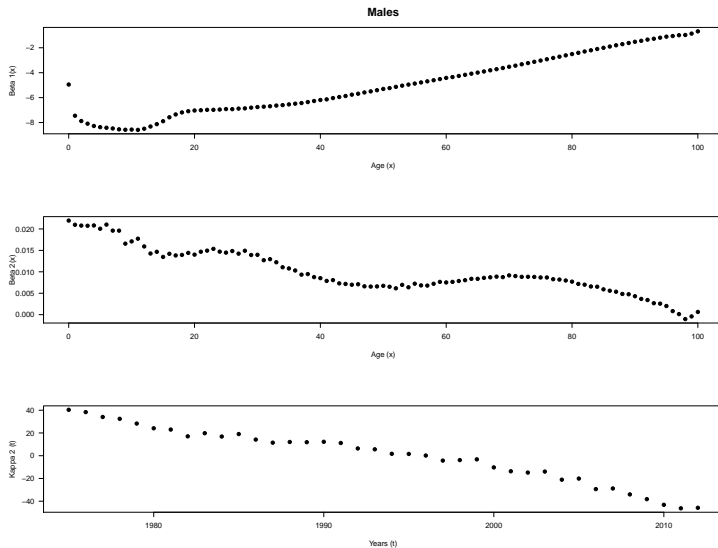
- ▶ Sea  $\mathbf{Z}$  una matriz de dimensión  $(x_{max} - x_{min} + 1) \times (t_{max} - t_{min} + 1)$  con elementos,

$$z_{xt} = \ln m_{(x,t)} - \hat{\alpha}_x.$$

- ▶ Sea  $\mathbf{u}_1$  y  $\mathbf{v}_1$  vectores propio normalizado de  $\mathbf{Z}^t \mathbf{Z}$  y  $\mathbf{Z} \mathbf{Z}^t$ ;  $\lambda_1$  el valor propio más grande .
- ▶ Entonces,

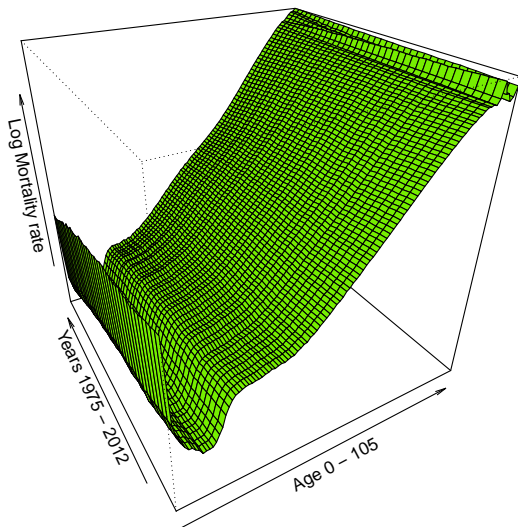
$$\hat{\beta} = \frac{\mathbf{v}_1}{\sum_j v_{1j}}, \quad \hat{\kappa} = \lambda_1 \left( \sum_j v_{1j} \right) \mathbf{u}_1.$$

# Modelo Lee-Carter - Parámetros estimados

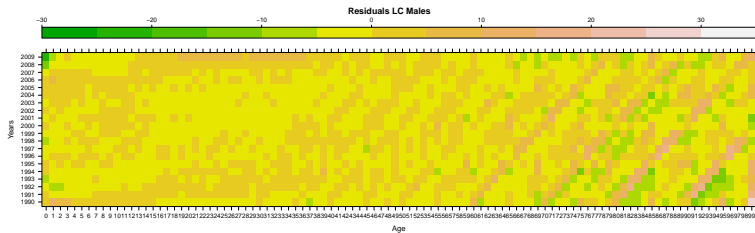


# Modelo Lee-Carter - Tasas de Mortalidad estimadas

Log Mortality rates LC, Males 1975 – 2012



# Modelo Lee-Carter - Residuales



## Modelo Renshaw-Haberman

Intenta representar el efecto cohorte, que se define como  $c = t - x$ .

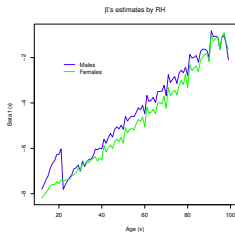
$$\log[m(x, t)] = \beta_x^{(1)} + \beta_x^{(2)} \kappa_t^{(2)} + \beta_x^{(3)} \gamma_{t-x}^{(3)} + \epsilon_{x,t}. \quad (1)$$

condicionado a

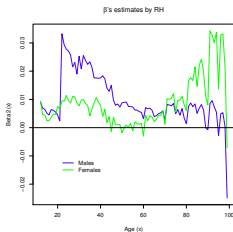
$$\sum_t \kappa_t^{(1)} = \sum_t \gamma_t^{(3)} = 0 \quad \text{y} \quad \sum_x \beta_x^{(2)} = \sum_x \beta_x^{(3)} = 1, \quad (2)$$

Los parámetros se interpretan al igual que en el modelo Lee-Carter.  $\beta_x^{(2)}$  es la tasa de cambio de la mortalidad en el tiempo pero en referencia a la cohorte.

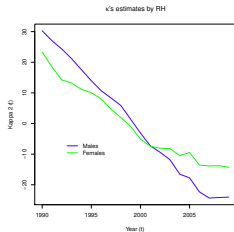
# Modelo Renshaw-Haberman - Parámetros estimados



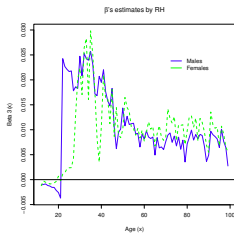
(a)  $\hat{\beta}_x^{(1)}$



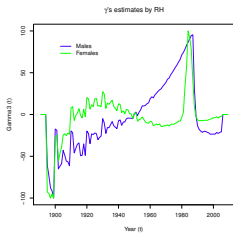
(b)  $\hat{\beta}_x^{(2)}$



(c)  $\hat{\kappa}_t^{(2)}$



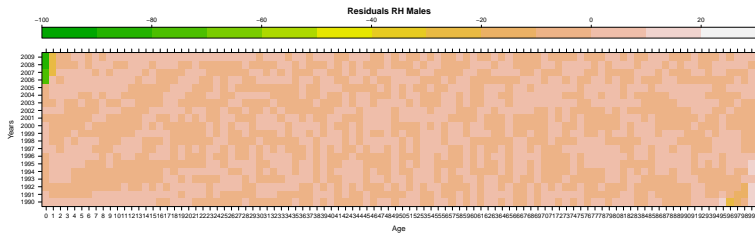
(d)  $\hat{\beta}_x^{(3)}$



(e)  $\hat{\gamma}_{t-x}^{(3)}$



# Modelo Renshaw-Haberman - Residuales



## Modelo Age-Period-Cohort (Currie, 2006)

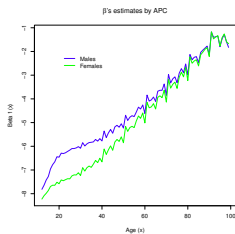
Los efectos de la edad, el período y la cohorte influyen en las tasas de mortalidad de forma independiente.

$$\log[m(x, t)] = \beta_x^{(1)} + \frac{1}{n_a} \kappa_t^{(2)} + \frac{1}{n_a} \gamma_{t-x}^{(3)} + \epsilon_{x,t}, \quad (3)$$

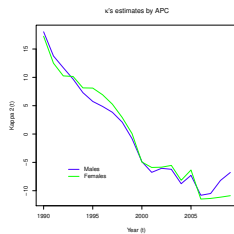
donde  $n_a$  es el total de edades. Se imponen las siguientes restricciones:

$$\sum_t \kappa_t^{(2)} = 0 \quad \text{and} \quad \sum_{x,t} \gamma_{t-x}^{(3)} = 0. \quad (4)$$

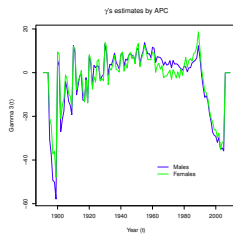
# Modelo Age-Period-Cohort - Parámetros estimados



(f)  $\hat{\beta}_x^{(1)}$

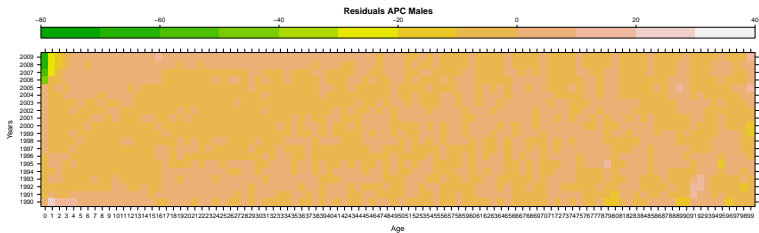


(g)  $\hat{\kappa}_t^{(2)}$



(h)  $\hat{\gamma}_{t-x}^{(3)}$

# Modelo Age-Period-Cohort - Residuales



# Ventajas e inconvenientes de las distintas aproximaciones.

- ▶ M5, CBD (2006).

$$\text{logit } q(t, x) = \log \frac{q(t, x)}{1 - q(t, x)} = \beta_x^{(1)} \kappa_t^{(1)} + \beta_x^{(2)} \kappa_t^{(2)}.$$

- ▶ M6, Primera Generalización del CBD.

$$\text{logit } q(t, x) = \beta_x^{(1)} \kappa_t^{(1)} + \beta_x^{(2)} \kappa_t^{(2)} + \beta_x^{(3)} \kappa_{t-x}^{(3)}.$$

- ▶ M7, Segunda Generalización del CBD.

$$\text{logit } q(t, x) = \kappa_t^{(1)} + \kappa_t^{(2)}(x - \bar{x}) + \kappa_t^{(3)}((x - \bar{x})^2 - \hat{\sigma}_x^2) + \gamma_{t-x}^{(4)}.$$

- ▶ M8, Tercera Generalización del CBD.

$$\text{logit } q(t, x) = \kappa_t^{(1)} + \kappa_t^{(2)}(x - \bar{x}) + \gamma_{t-x}^{(3)}(x_c - x).$$

# Ventajas e inconvenientes de las distintas aproximaciones.

- ▶ Todos los modelos tienen en cuenta que los efectos de la edad, periodo y la cohorte son cualitativamente diferentes y por lo tanto es necesario modelizarlos de diferente manera.
- ▶ Reconocen que existe aleatoriedad en las tasas de mortalidad en cada edad de un año a otro, causadas por factores externos como pueden ser los factores ambientales.
- ▶ Usando un modelo con splines se puede determinar una relación de suavizado entre las tasas de mortalidad de edades adyacentes dentro del mismo año.

# Selección de modelos

## Bayes Information Criterion (BIC)

- BIC penaliza la sobre parametrización de los modelos,

$$BIC = \hat{l}_x - \frac{1}{2}n \log N$$

donde  $\hat{l}_x$  es el valor máximo de la función de verosimilitud,  $n$  es el número de parámetros y  $N$  el número de observaciones.

## Selección de modelos

- Cálculo de los residuos estandarizados,

$$Z(t, x) = \frac{D(t, x) - E(t, x)\hat{m}(x, t; \hat{\Theta})}{\sqrt{E(t, x)\hat{m}(x, t; \hat{\Theta})}},$$

se asume  $Z(x, t)$  independientes e idénticamente distribuidos según una distribución normal standard  $N(0, 1)$



# Selección de modelos

Likelihood ratio test,

- ▶  $H_0$ : El modelo anidado es el modelo correcto vs.  $H_a$ : El modelo general es el modelo correcto
- ▶ Rechazar la hipótesis nula si

$$2(\hat{l}_2 - \hat{l}_1) > \chi^2_{\nu_2 - \nu_1, \alpha}$$

- ▶ Por ejemplo el Modelo LC está anidado en el Modelo RH. Las posibles comparaciones son: LC vs. RH, APC vs. RH, M5 vs. M6, M5 vs. M7, M5 vs. M8, M6 vs. M7 y M6 vs. M8,

## Tablas de mortalidad para una población asegurada

# Protocolo para tratamiento de los datos.

- ▶ Identificar inicio y final de la póliza para establecer el número de expuestos correctamente.
- ▶ Identificar fallecimientos y evitar duplicidades por existencia de asegurados con más de un contrato.
- ▶ Análisis gráfico, identificación de outliers.
- ▶ Graduación o suavizado.

# Modelización, ajuste y contrastes.

- ▶ Tablas estáticas vs. dinámicas.
- ▶ Elección del modelo.
- ▶ Test de ajuste.
- ▶ Modelo elegido frente a modelos alternativos.
- ▶ Estabilidad y validez a futuro: (robustez) del modelo.

## Variables adicionales de estudio a considerar en la construcción de tablas.

- **Pandemia.** Un incremento aislado de la mortalidad en el año, sin que exista cambio en las expectativas de mortalidad futuras.

⇒ Se puede proponer como solución un aumento determinado de la tasa de mortalidad durante un año  $q_x + \%$ , basándose en el promedio de los escenarios optimistas y pesimistas.

## Variables adicionales de estudio a considerar en la construcción de tablas.

- ▶ **Tendencia.** Un deterioro de las expectativas de mortalidad a largo plazo, el cual puede estar asociado a un cambio en el comportamiento de la población. Por ejemplo, aumento de obesidad que conduce a diabetes, infartos, hipertensión, etc.

⇒ Se puede proponer como solución un aumento de la tasa de mortalidad en un cierto % por año durante todos los años futuros.

## Variables adicionales de estudio a considerar en la construcción de tablas.

- ▶ **Incertidumbre** derivada de utilizar fuentes de información con datos escasos o poco fiables.
- ▶ **Volatilidad**. La mortalidad real fluctuará alrededor del nivel de mortalidad esperada. Las compañías grandes tenderán a experimentar menos volatilidad que las compañías pequeñas.

⇒ Método de simulaciones de Monte Carlo.

# Referencias



## Referencias.

- ▶ Ayuso, M.; Corrales, H.; Guillén, M. et al. Estadística Actuarial Vida. Barcelona: Universitat de Barcelona, 2001.
- ▶ Brouhns, N. y Denuit, M. *Risque de longévité et rentes viagères I. Evolution de la mortalité en Belgique de 1880 à nos jours*. Belgian Actuarial Bulletin, 2002, Vol.2, No. 1, 26-48.
- ▶ Brouhns, N. y Denuit, M. *Risque de longévité et rentes viagères II. Tables de mortalité prospectives pour la population belge*. Belgian Actuarial Bulletin, 2002, Vol.2, No. 1, 49-63.
- ▶ Brouhns, N. y Denuit, M. *Risque de longévité et rentes viagères III. Elaboration de tables de mortalité prospectives pour la population assurée belge, et évaluation du coût de l'antisélection*. Belgian Actuarial Bulletin, 2002, Vol.2, No. 1, 64-72.

## Referencias.

- ▶ Cairns, A.; Blake, D.; Dowd, K. et al. *A Quantitative Comparison of Stochastic Mortality Models Using Data from England & Wales and the United States*. North American Actuarial Journal, 2009, Vol.13, No. 1, 1-35.
- ▶ Delwarde, A. y Denuit, M. *Importance de la période d'observation et des âges considérés dans la projection de la mortalité selon la méthode de Lee-Carter*. Belgian Actuarial Bulletin, 2003, Vol.3, No. 1, 1-21.
- ▶ Haberman, S.; Pitacco, E. *Actuarial Models for Disability Insurance*. United States: Chapman & Hall/CRC, 1999.
- ▶ Knorr, F.E. *Multidimensional Whittaker-Henderson graduation*. Transactions of Society of Actuaries, 1984, Vol.36, 213-255.

## Referencias.

- ▶ Pitacco, E.; Denuit, M. et al. Modelling Longevity Dynamics for Pensions and Annuity Business. United States: Oxford University Press, 2009.
- ▶ Renshaw, A.E. y Haberman, S. *On the forecasting of mortality reduction factors*. Insurance: Mathematics and Economics, 2003, Vol.32, No. 3, 379-401.